

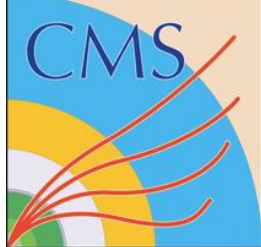


Upgrade del sistema Resistive Plate Chambers (RPC) di CMS per la fase II di LHC

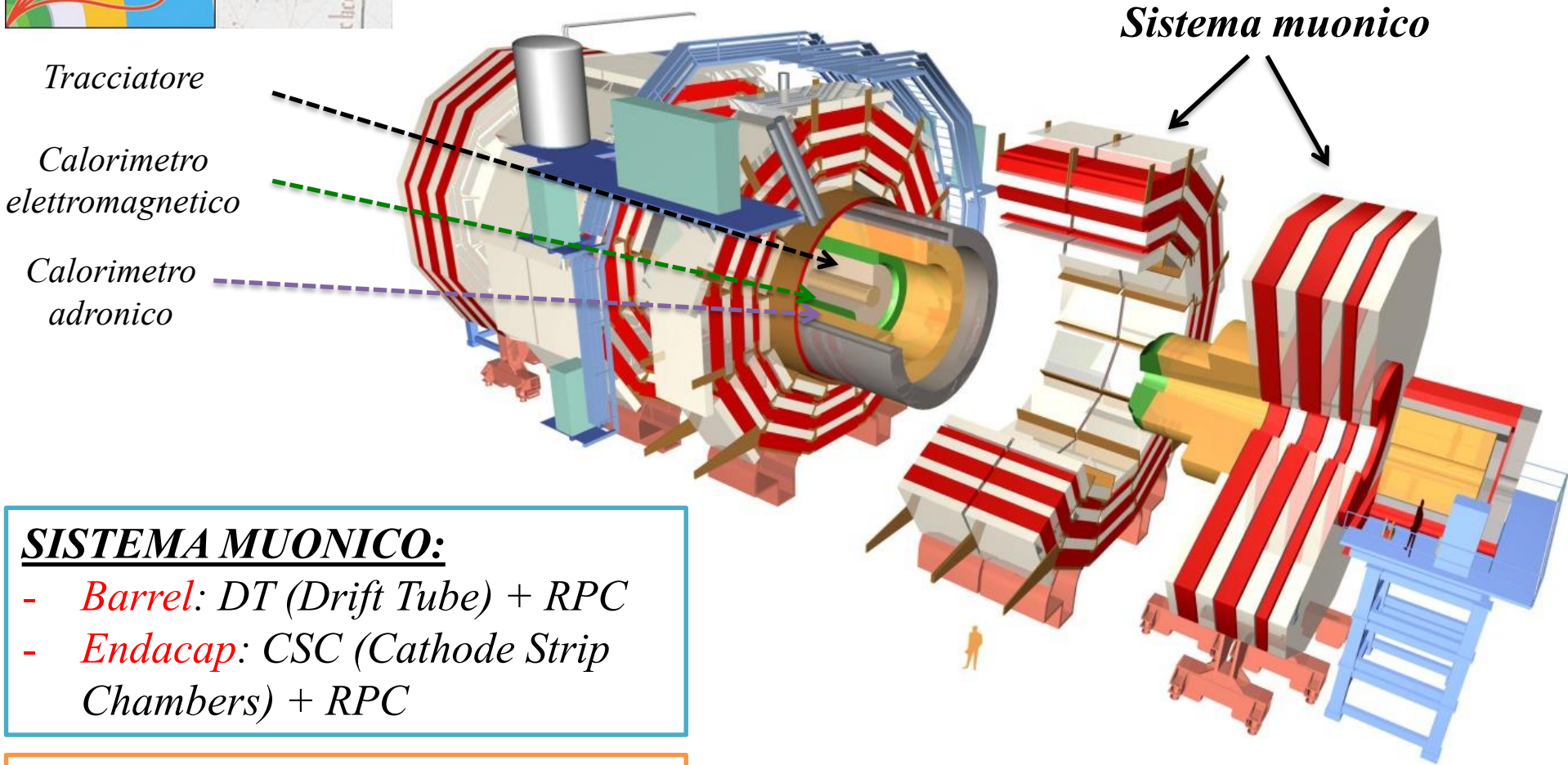
Andrea Gelmi (INFN & Università di Bari)
A nome della collaborazione CMS Muon Group

IFAE 2018 – XVII Edizione degli Incontri di Fisica delle Alte Energie

Milano, 4-6 Aprile 2018



L'esperimento CMS @ LHC

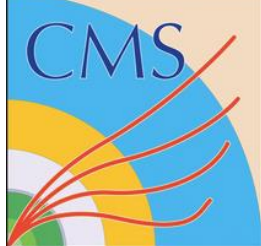


SISTEMA MUONICO:

- *Barrel*: DT (Drift Tube) + RPC
- *Endcap*: CSC (Cathode Strip Chambers) + RPC

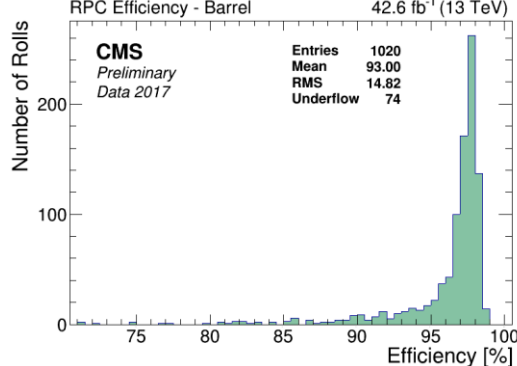
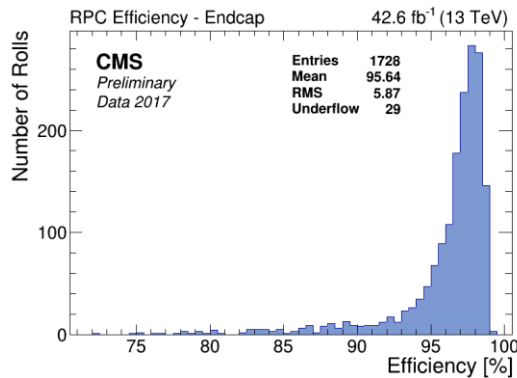
- *Ridondanza* (4 stazioni con 3 tecnologie di rivelatori)
- *Robustezza*
- *Efficienza*

Peso: 12000 t
Lunghezza: 21.6 m
Diametro: 15 m
Campo magnetico: 3.8 T



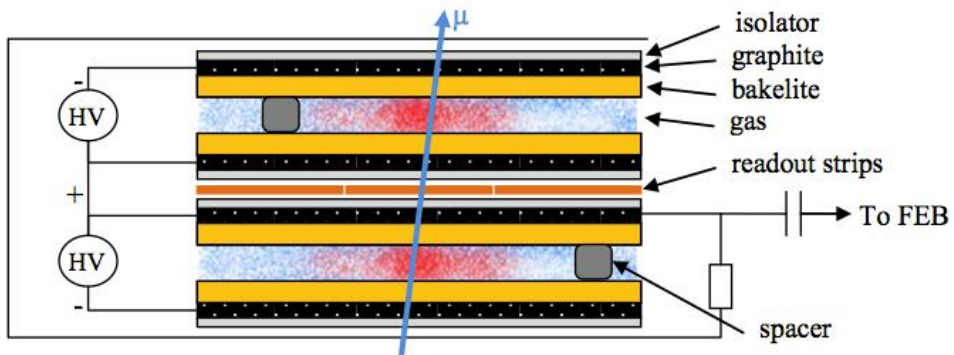
Il sistema Resistive Plate Chamber (RPC) di CMS

- *Informazioni (spaziali e temporali) RPC usate per il trigger, identificazione e tracciamento*
- *Prestazioni ottime e stabili: efficienza $\approx 95\%$, risoluzione spaziale 1cm*



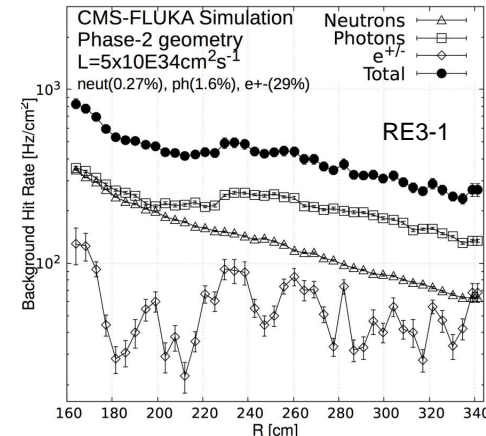
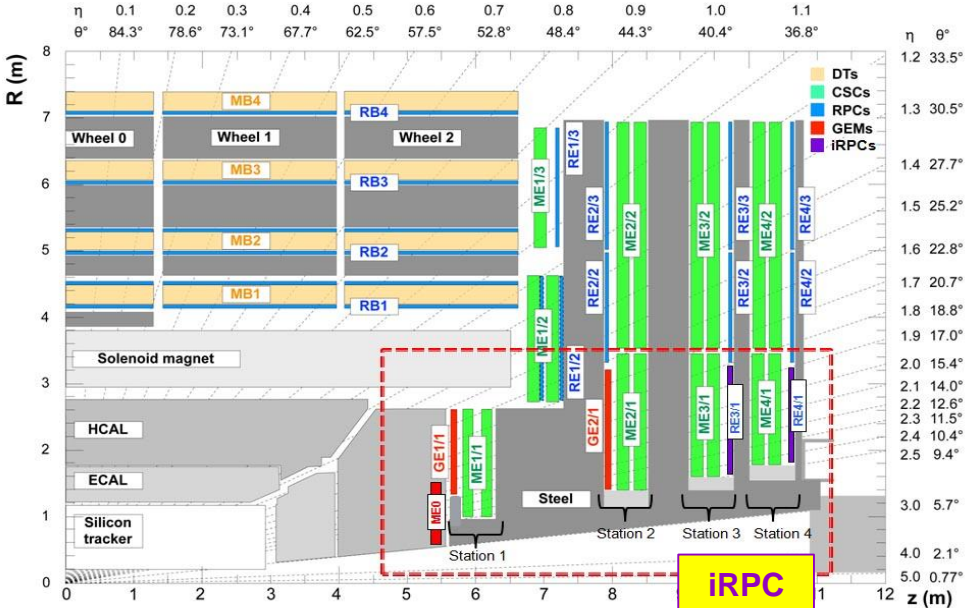
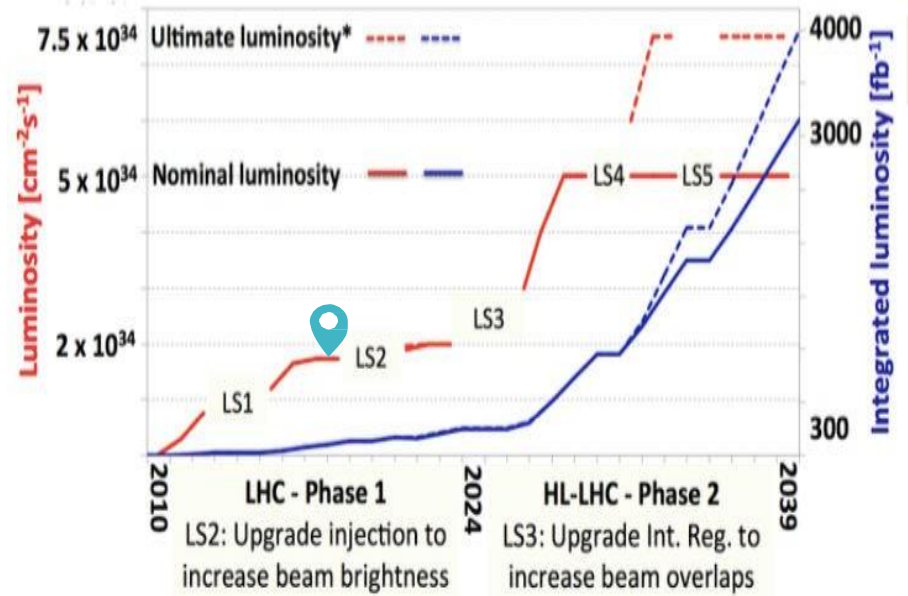
- *Sistema RPC $0 < |\eta| < 1.9$*
- *1056 camere:*
480 Barrel & 576 Endcap

- *Regime a valanga*
- *Doppia gap*
- *Resistività elettrodi HPL: $\rho = 1-6 \cdot 10^{10} \Omega cm$*
- *Spessore gas gap & elettrodi 2mm*
- *Miscela di gas $C_2H_2F_4$ (95.2%) + $isoC_4H_{10}$ (4.5%) + SF_6 (0.3%)*





L'estensione del sistema RPC @ HL-LHC



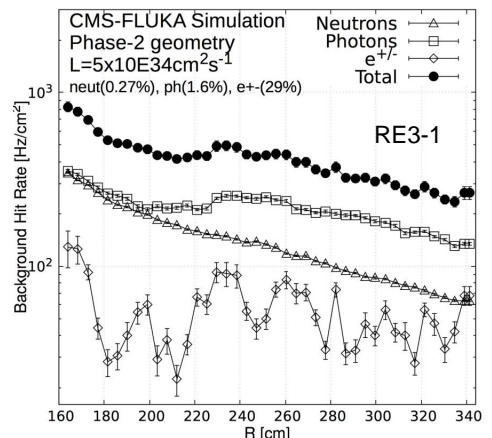
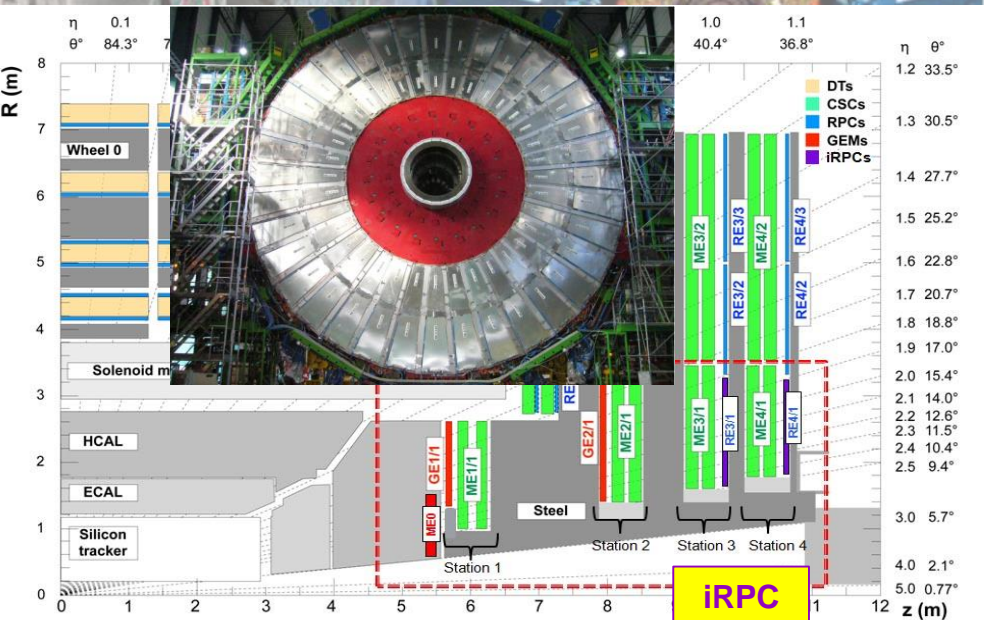
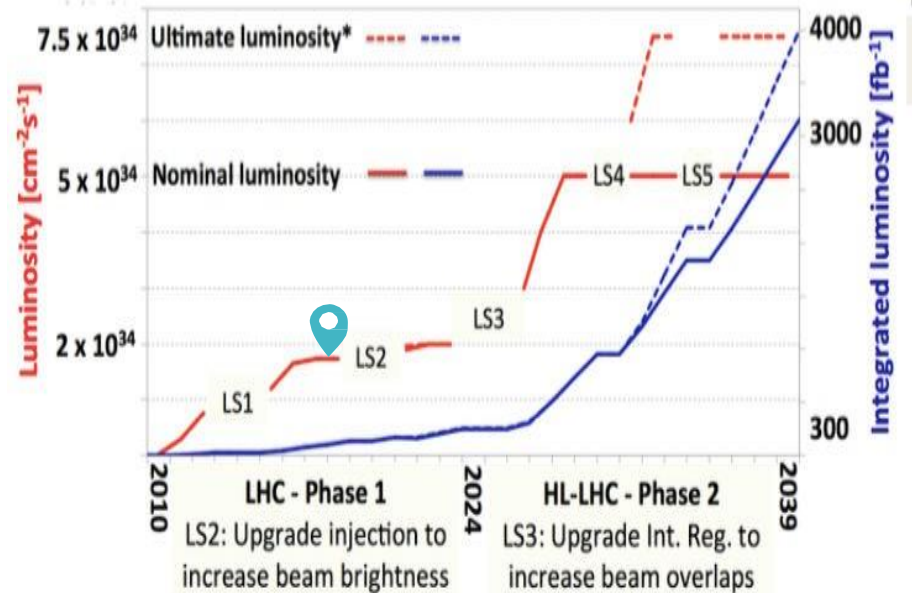
HL-LHC → aumento del background rate & pile-up

Regione $1.8 < |\eta| < 2.4$: background rate (2kHz/cm^2), bassi valori del campo magnetico, mancanza di ridondanza (presenti solo CSC)

→ upgrade del SISTEMA MUONICO per mantenere elevate prestazioni



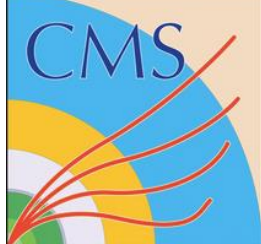
L'estensione del sistema RPC @ HL-LHC



HL-LHC \rightarrow aumento del background rate & pile-up

Regione $1.8 < |\eta| < 2.4$: background rate (2kHz/cm^2), bassi valori del campo magnetico, mancanza di ridondanza (presenti solo CSC)

\rightarrow upgrade del SISTEMA MUONICO per mantenere elevate prestazioni

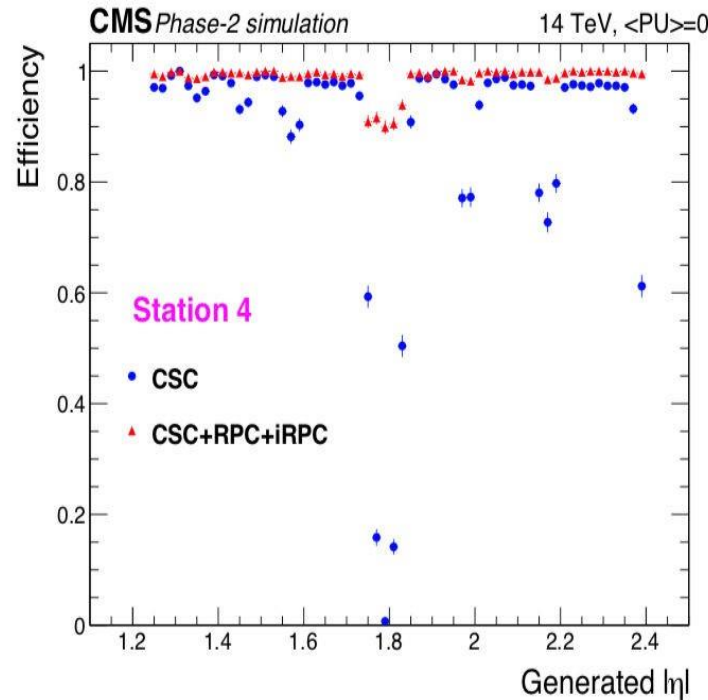
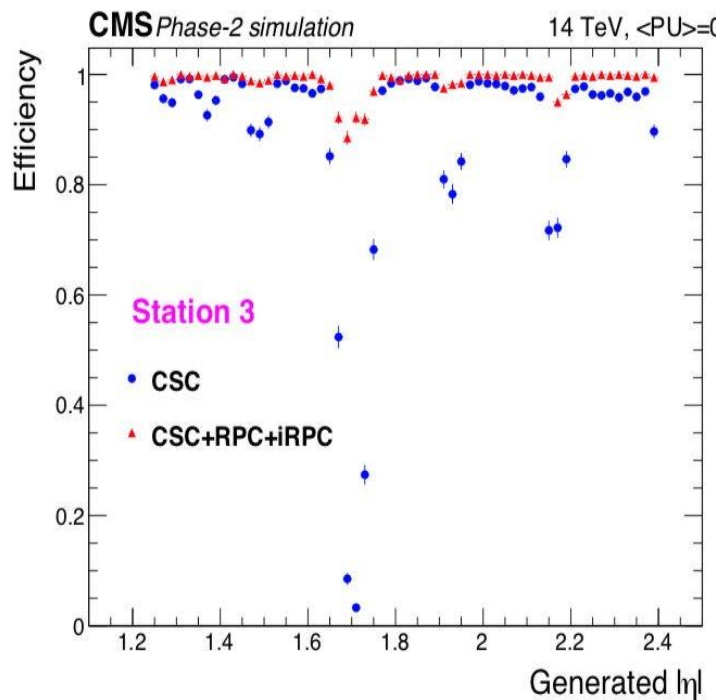


Motivazioni estensione sistema RPC

Estensione del sistema RPC $1.8 < |\eta| < 2.4$

18 camere per disco (20°) \rightarrow 72 in totale

- Completamento RE3-4/1 & aumento ridondanza
- Estensione contributo del sistema RPC al tracciamento e trigger
- ✓ Miglioramento dell'efficienza del trigger includendo RPC





I nuovi improved RPC (iRPC)

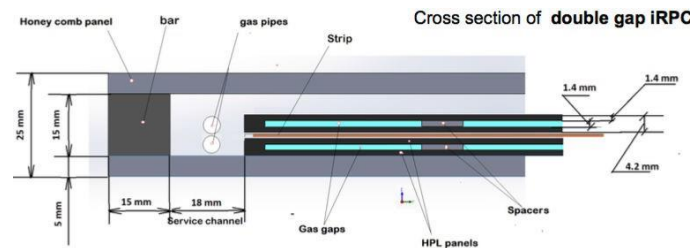
Requisiti:

- Rate capability $\approx 2 \text{ kHz/cm}^2$ [1]
- Efficienza $> 95\%$
- Risoluzione spaziale $\approx 1-2 \text{ cm}$
- Risoluzione temporale $\approx 1.5 \text{ ns}$

[1] incluso fattore di sicurezza 3



Nuova generazione di RPC
→ **improved RPC** (iRPC)



Sono stati studiati tutti i fattori rilevanti per il miglioramento del rilevatore:

- Resistività elettrodi
- Spessore elettrodi
- Spessore gas gap

	RPC	iRPC
Resistività (Ωcm)	$1 - 6 \times 10^{10}$	$0.9 - 3 \times 10^{10}$
Elettrodi	2 mm	1.4 mm
Gas Gap	2 mm	1.4 mm



Geometria degli iRPC

➤ Resistività eletrodi

da $1-6 \cdot 10^{10} \Omega\text{cm}$ → $0.9-3 \cdot 10^{10} \Omega\text{cm}$

- Aumento rate capability

➤ Spessore eletrodi

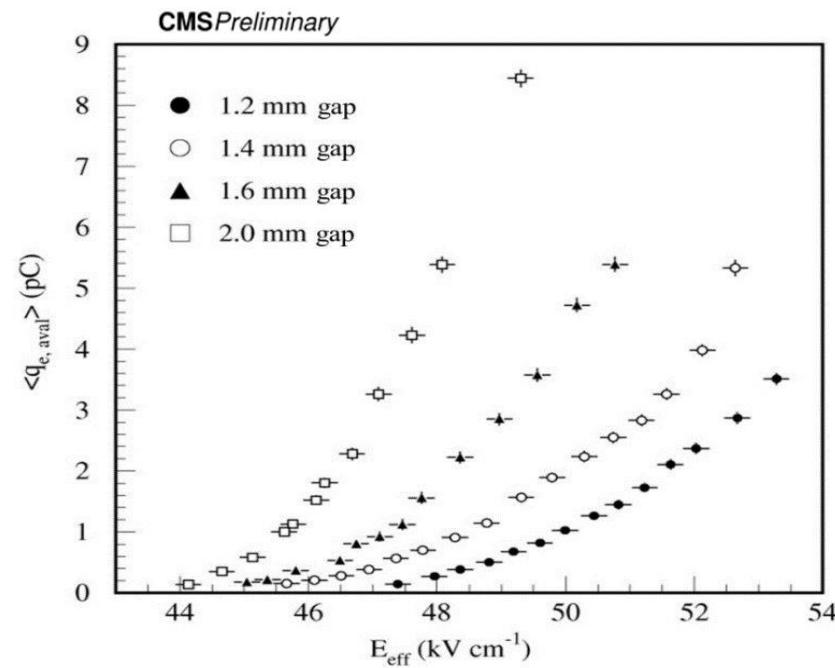
da 2.0 mm → 1.4 mm

- Riduzione tempo morto
- Riduzione attenuazione segnale indotto su strip lettura

➤ Spessore gas gap

da 2.0 mm → 1.4 mm

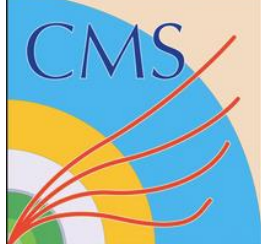
- Riduzione carica valanga
- Riduzione tensione di lavoro
- Riduzione effetti aging
- Migliore risoluzione temporale



gas gaps con spessori inferiori sono più sensibili alle disuniformità

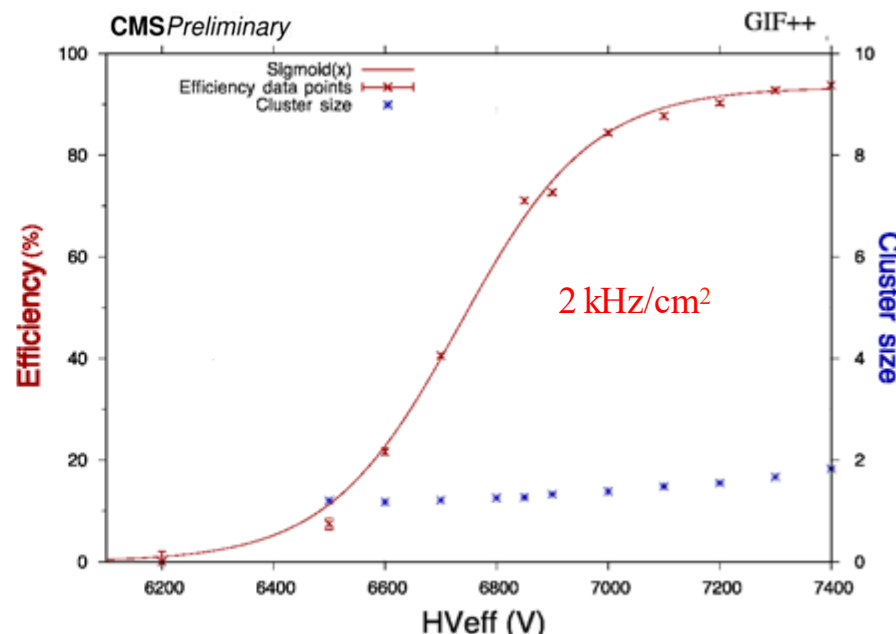
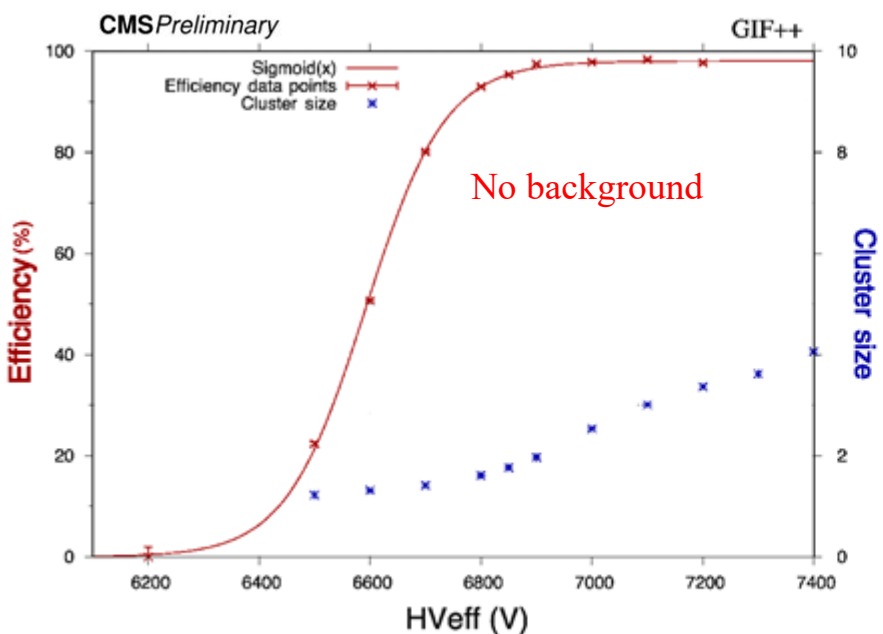


Spostamento parte dell'amplificazione del segnale dalla gas gap all'elettronica

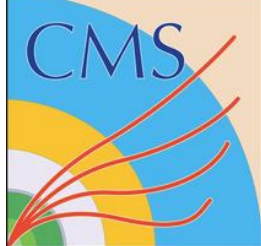


Prestazioni degli iRPC

*iRPC test @ Gamma Irradiation Facility (GIF++) @ CERN
in diverse condizioni di irraggiamento*



- ✓ *Efficienza > 95%*
- ✓ *Aumento della tensione di lavoro ≈ 300 V*

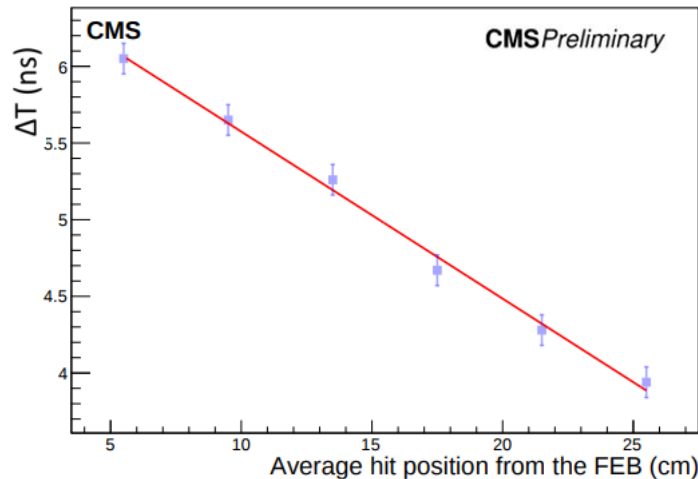


La nuova elettronica (FEB)

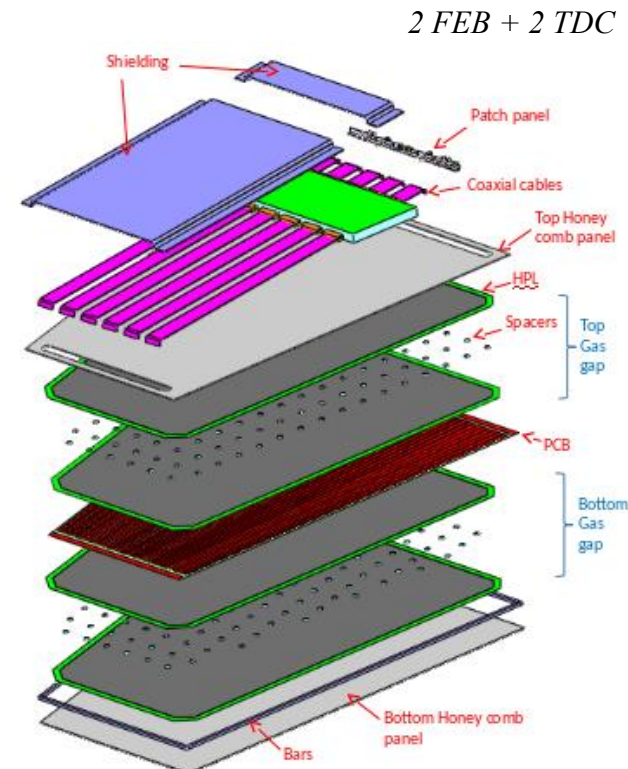
Nuova elettronica più sensibile al fine di rivelare segnali generati da bassi valori di carica (10 fC) senza influenzare le prestazioni del rivelatore

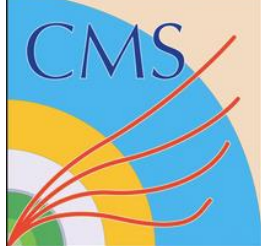
BASELINE: PETIROCASIC + TDC

- 32 canali
- Basso noise rate
- Veloce pre-amplificatore e discriminatore in tecnologia SiGe
- Lettura doppia coordinata: **XY (2D)**



$$Y = L/2 - V^*(T_1 - T_2)/2$$
$$\sigma(Y) = V^* \sigma(T_1 - T_2)/2$$
$$Y \text{ risoluzione} \sim 1.8 \text{ cm}$$

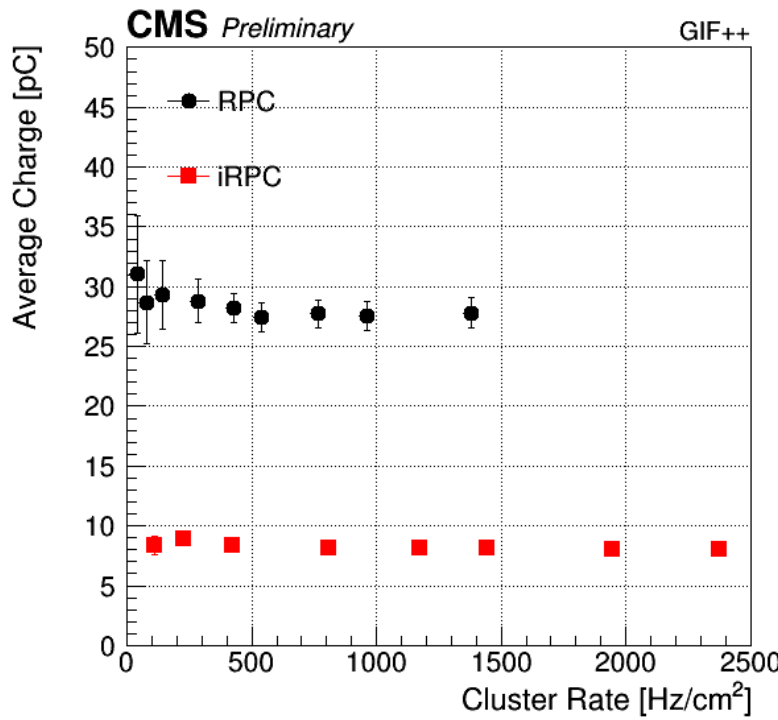




iRPC studi di longevità

iRPC devono soddisfare le specifiche di CMS per l'intero periodo di HL-LHC

→ *test di irraggiamento iRPC iniziati @ GIF++*



Tempo effettivo @
luminosità nominale
iRPC Rate atteso
iRPC carica media

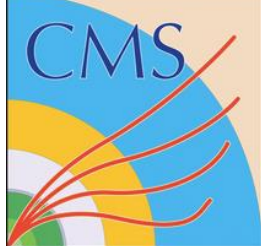
$$\begin{aligned} T &= 6 \cdot 10^{10} \text{ s} \\ R &\cong 2 \text{ kHz/cm}^2 \\ q &\cong 8 \text{ pC} \end{aligned}$$



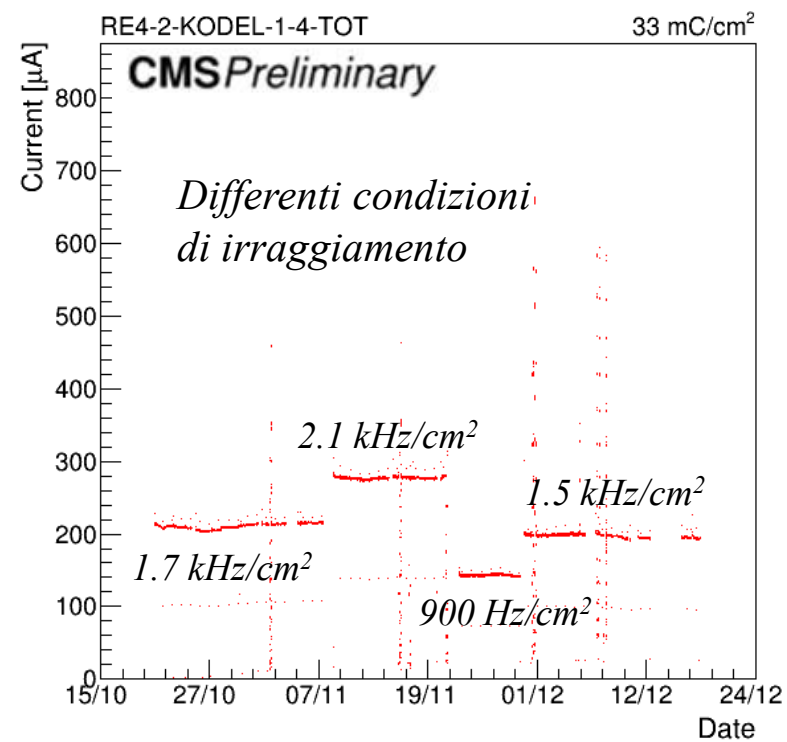
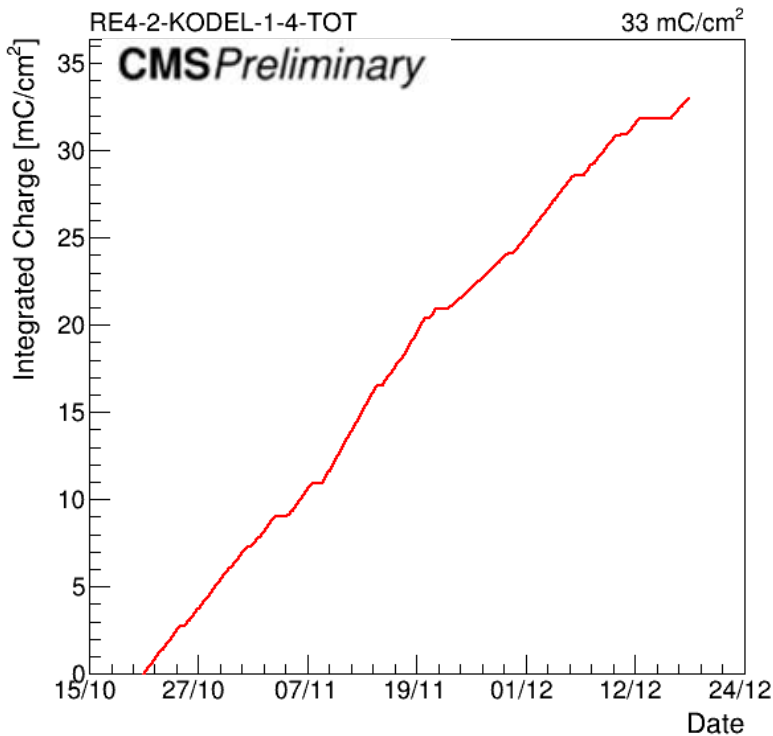
$$\text{Carica integrata: } Q = T \cdot R \cdot q$$

$$\begin{aligned} \text{Carica integrata stimata:} \\ \cong 1 \text{ C/cm}^2 \quad (\text{incluso fattore sicurezza 3}) \end{aligned}$$

$$q = \frac{\text{current}}{\text{gamma cluster rate}}$$



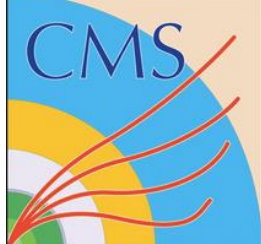
iRPC studi di longevità



iRPC

- Ottobre 2017
- Flusso gas $\sim 5 \text{ l/h}$
(1 vol gas/h)
3 %

Principali parametri del rivelatore stabili



Conclusioni

- 
- A photograph of the CMS detector at the Large Hadron Collider. The image shows the complex structure of the detector, including the central barrel and the surrounding magnetic field coils. The CMS logo is visible on a plaque on the left side of the detector.
- *Estensione del sistema CMS-RPC alla regione ad alto eta per Upgrade di fase II: iRPC rivelatori basati sull'attuale tecnologia RPC ma con diversa geometria per migliorarne le prestazioni*
 - *Test iRPC in diverse condizioni di irraggiamento: prestazioni pienamente soddisfacenti*
 - *Nuova elettronica (FEB), a bassa soglia e lettura 2D, testata con successo*
 - *Studi di longevity per validare tecnologia iRPC per l'intero periodo di HL-LHC*
 - *Installazione iRPC prevista durante YETS 2021-2022 e YESTS 2022-2023*



Grazie
per l'attenzione

Contatto:

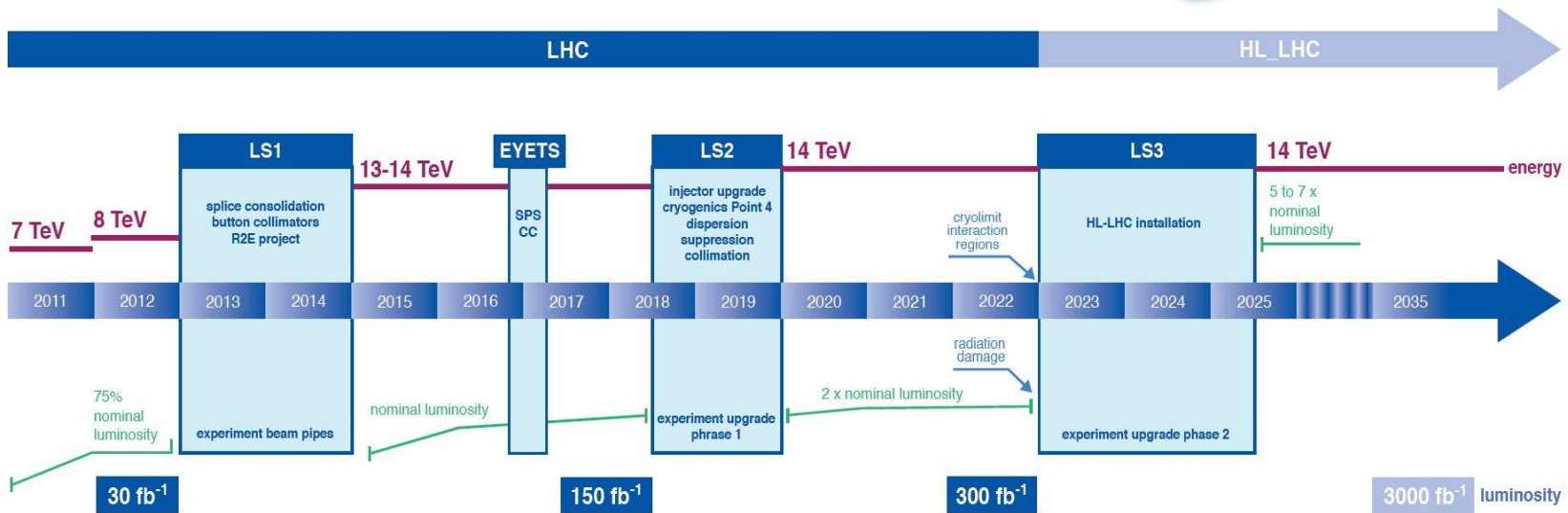
andrea.gelmi@cern.ch



Back up slide



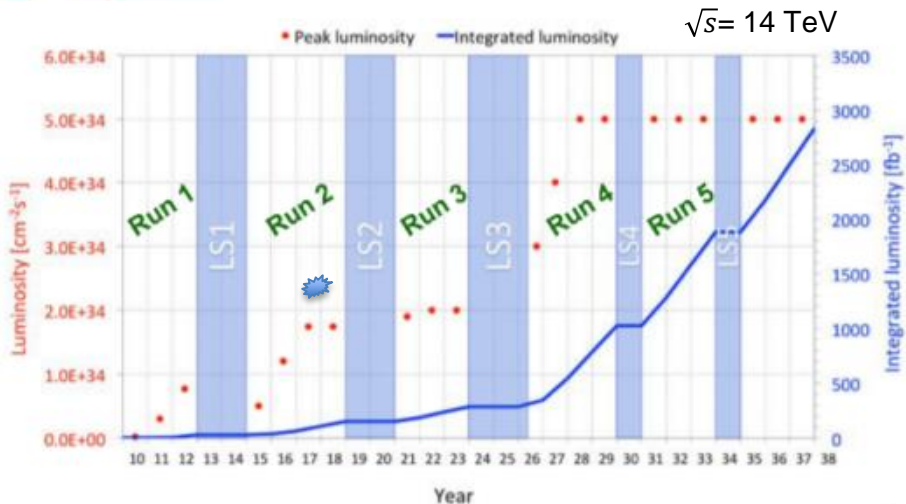
LHC / HL-LHC Plan



		LHC	Earlier HL-LHC	Ultimate HL-LHC
Collider	instantaneous luminosity ($\text{cm}^{-2}\text{s}^{-1}$)	10^{34}	5×10^{34}	7.5×10^{34}
	pileup collisions	30	150	200
	integrated luminosity (fb^{-1})	500	3000	4000
CMS	L1 trigger (kHz)	100	500	750
	L1 trigger latency (μs)	3.6		12.5

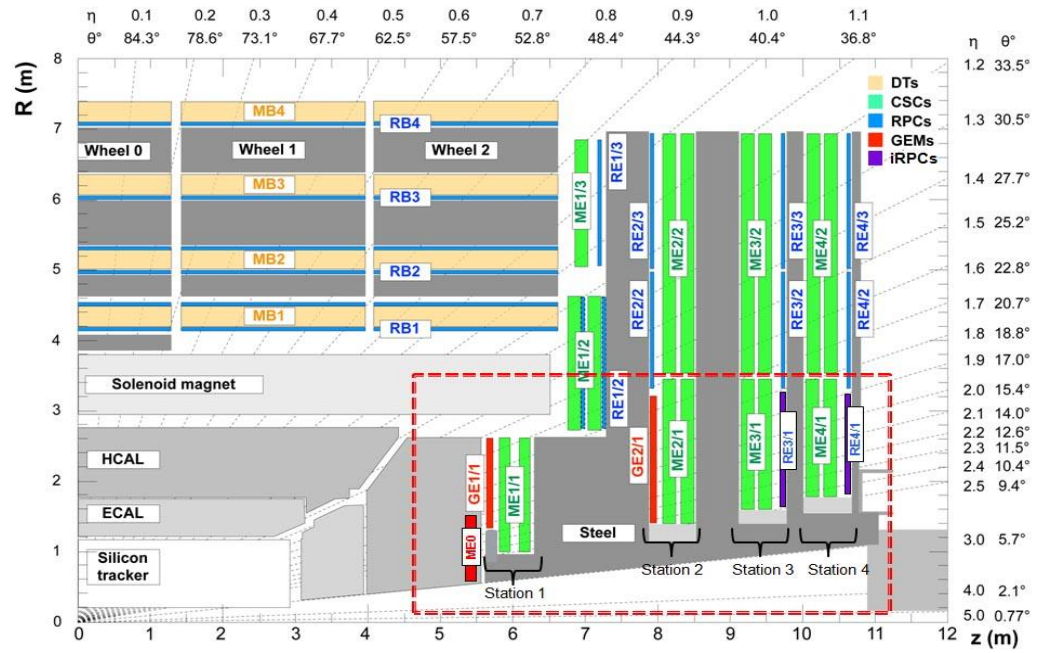


HL-LHC & CMS

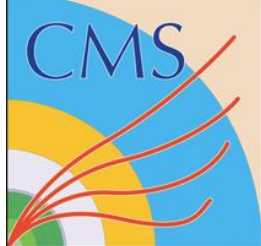


$$L = \frac{R_{inel}}{\sigma_{inel}}$$

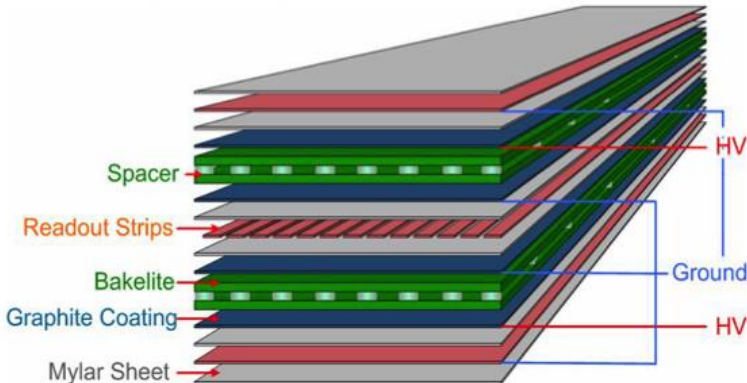
$$L = \int_0^t L(t') dt'$$



$$\eta = -\ln\left(\tan\frac{\theta}{2}\right)$$

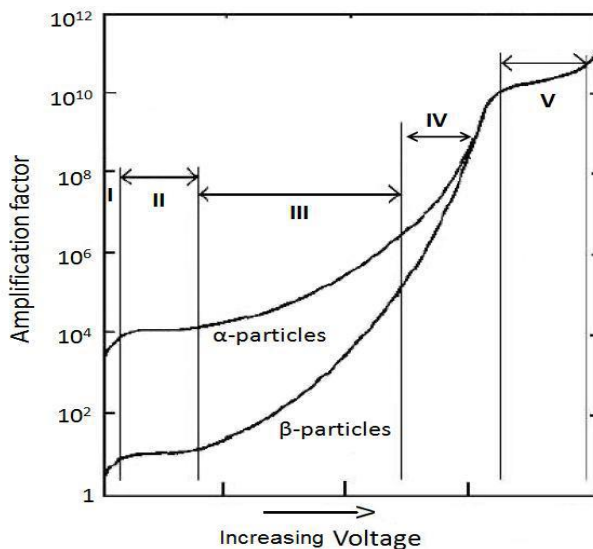


CMS RPC design

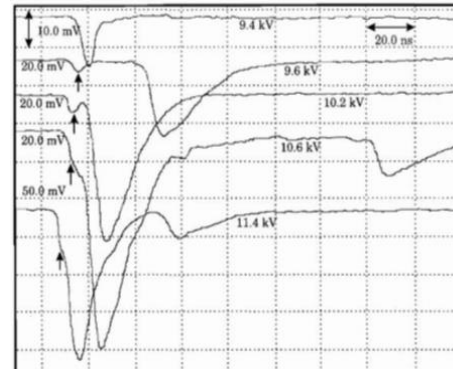


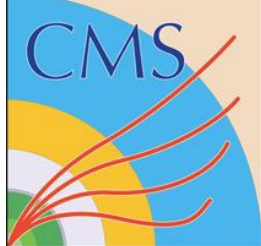
- Covers $0 < |\eta| < 1.8$
- 1056 chambers (480 in Barrel and 576 in Endcap)
- 120000 electronic channels and 400 m² of active area
- Double gaps gas chamber: 2 mm gas width
- Electrodes: High Pressure Laminate
- HPL bulk resistivity: $\rho = 1 - 6 \times 10^{10} \Omega\text{cm}$
- Humidified Gas mixture: C₂H₂F₄ + isoC₄H₁₀ + SF₆ (40% of H₂O)

95.2%	4.5%	0.3%
-------	------	------
- Close loop with 10% -15% of fresh gas
- Operated in avalanche mode



$$S = \left(-\frac{dE}{dx} \right) = \frac{4\pi N_A}{m_e c^2} \rho \frac{Z z^2}{A \beta^2} \ln \left[\left(\frac{2m_e c^2 \beta^2 \gamma^2}{I} \right) - \beta^2 - \frac{\delta}{2} - \frac{C}{Z} \right]$$





Gamma Irradiation Facility (GIF++)

To certify the RPC system at HL-LHC conditions a new LONGEVITY STUDY started @ ***Gamma Irradiation Facility (GIF++) CERN in 2016:***

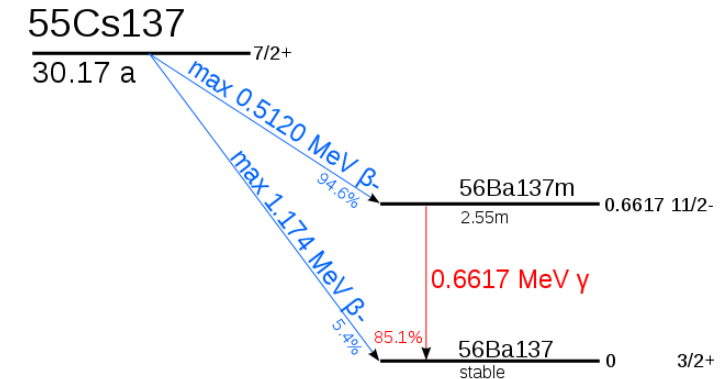
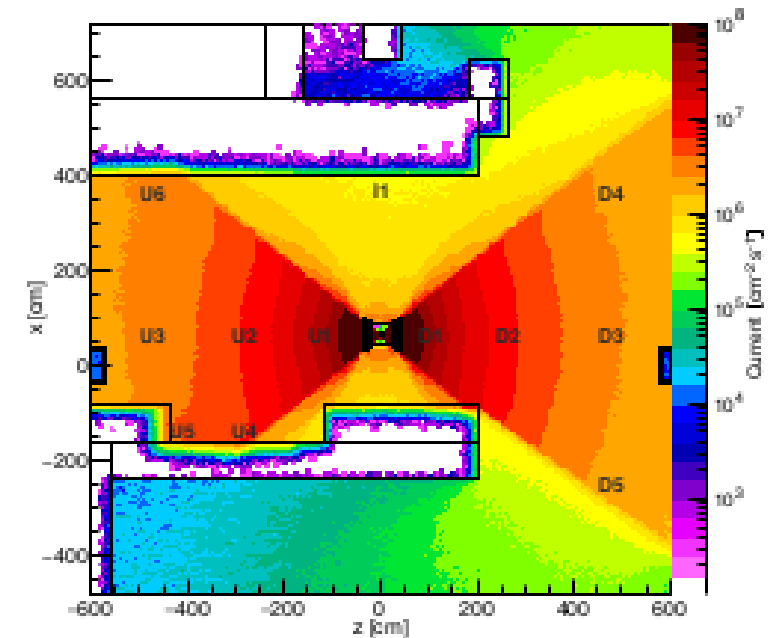
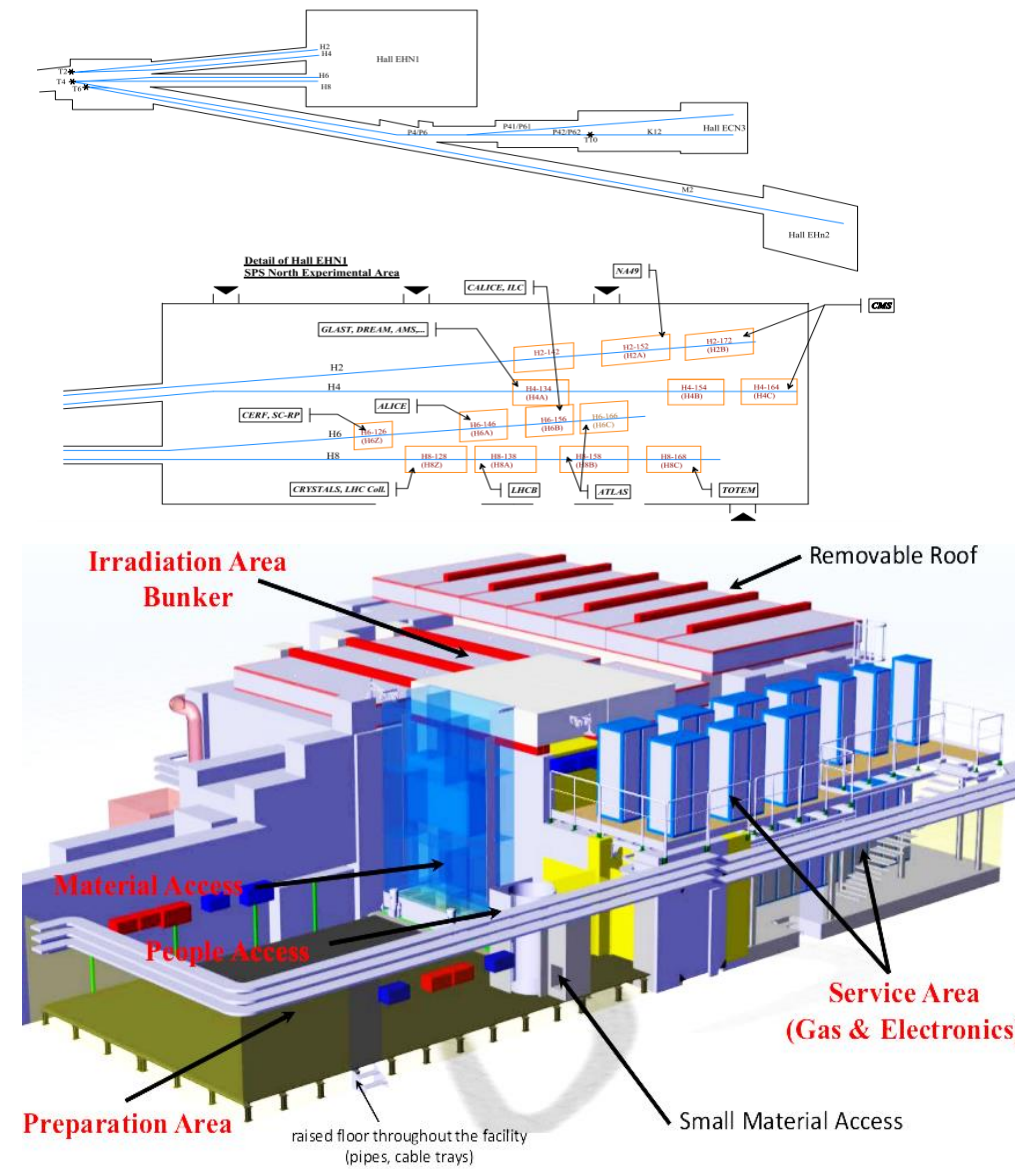
- **^{137}Cs source**
 - $\sim 13 \text{ TBq}$
 - Filter system (ABS source attenuation)
 - Photons Energy spectrum 0-662 keV
- **Muon beam**
 - Energy up to 100 GeV, 10^4 muons/spill
 - 3-4 times per year
- **Main parameters under control**
 - **Environmental parameters**
 - Temperature, Humidity, Pressure
 - **Gas parameters**
 - gas composition,
 - gas flow,
 - gas Temperature, Humidity, Pressure

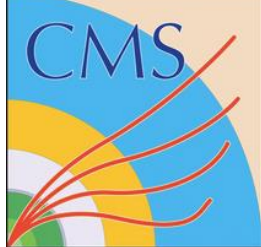


GIF++ allows to test real size detectors in a similar background condition as in CMS



Gamma Irradiation Facility (GIF++)

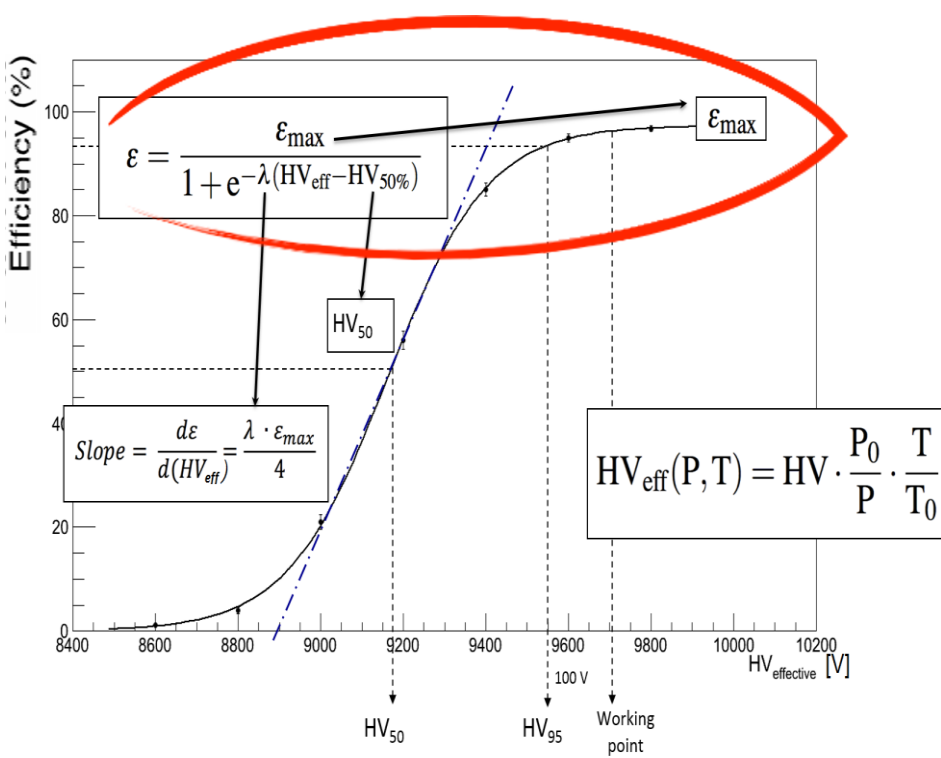




RPC Efficiency

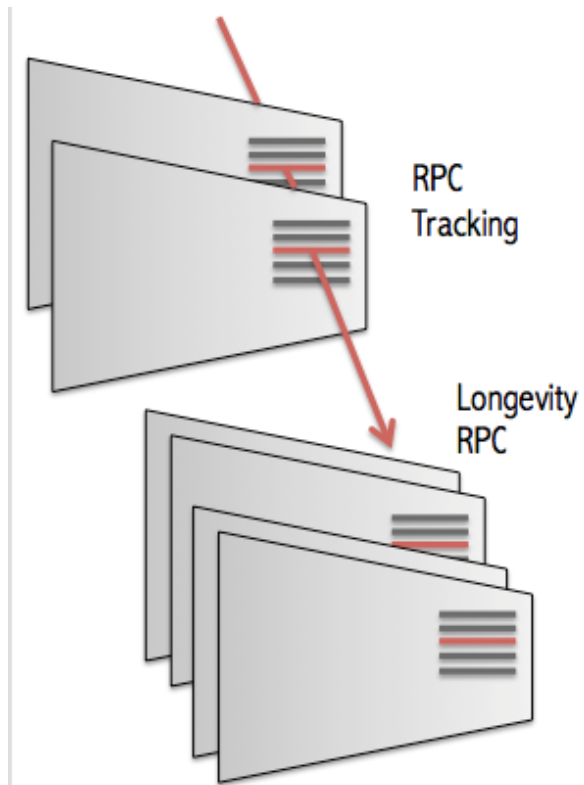


Detector performance measured with muon beam using additional RPCs for muon tracking



$$\lambda = \frac{1}{HV_{90\%} - HV_{10\%}}$$

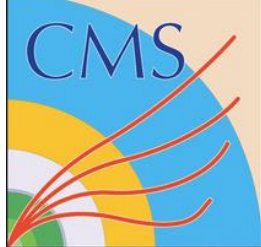
$$WP = HV_{95} + 150V \quad (HV_{95} : HV_{\text{eff}} \text{ where the } \epsilon \text{ is } 95\% \text{ of } \epsilon_{\max})$$



HV correction

$$HV_{\text{app}} = HV_{\text{eff}} \left(1 - \alpha + \alpha \frac{P}{P_0} \frac{T_0}{T} \right)$$

$P_0 = 990 \text{ mbar}$
 $T_0 = 293.15 \text{ K}$
 $\alpha = 0.8$



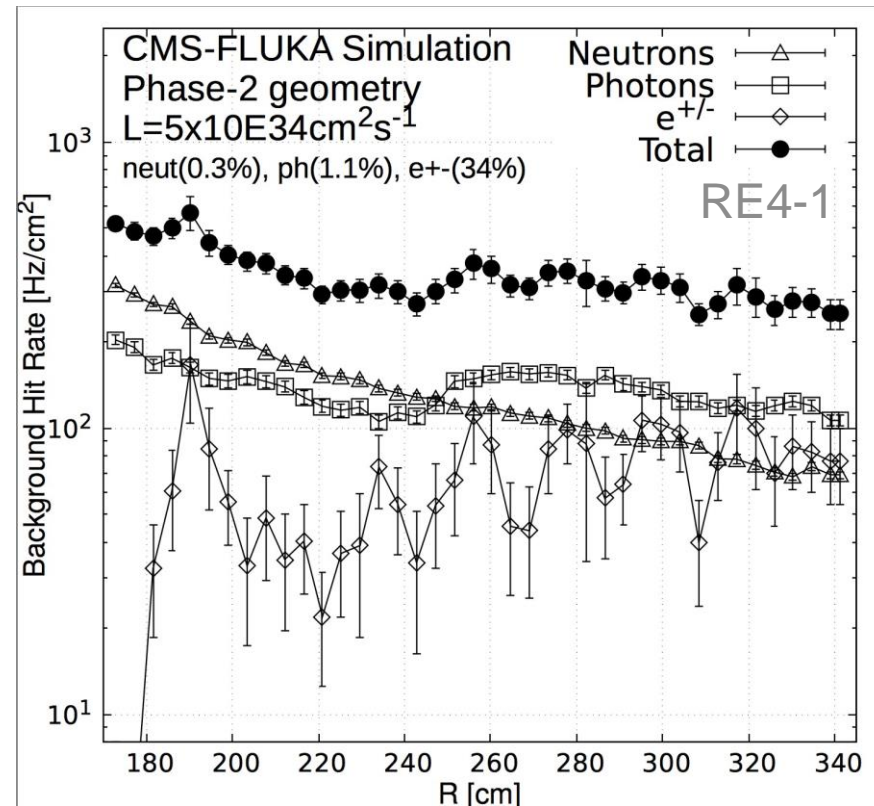
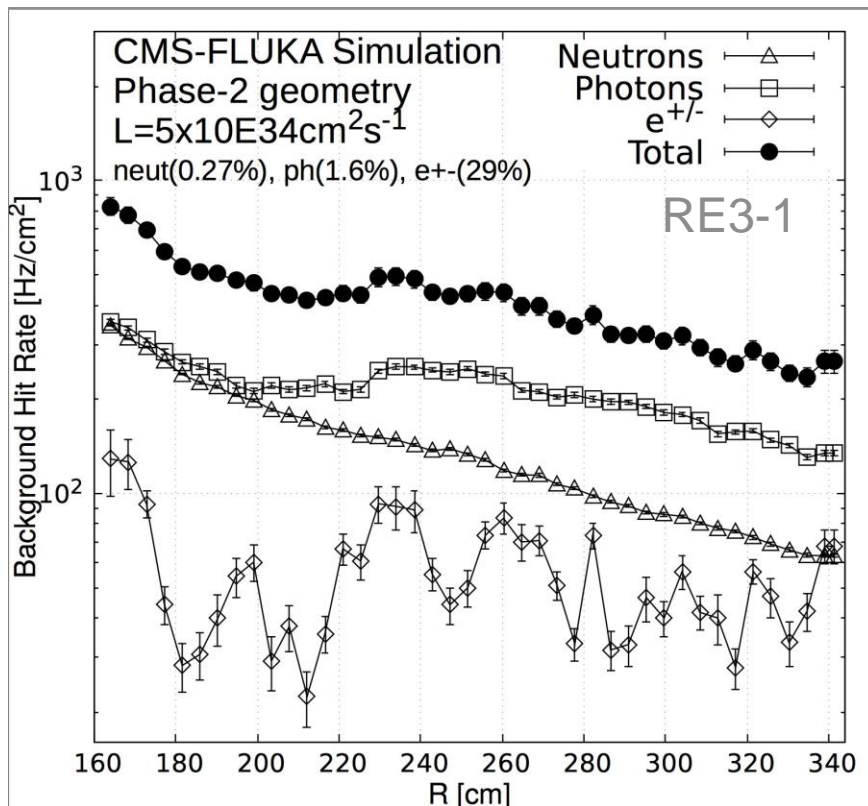
Expected conditions at HL LHC in the forward region

Expected background flux in the RPC forward region at HL-LHC has been simulated

The average expected values:

RE3/1 – 550 Hz/cm²;

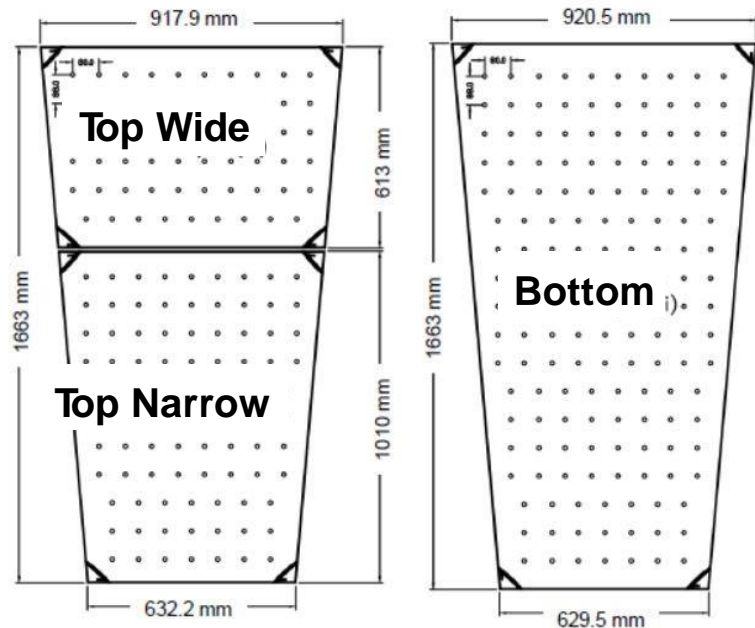
RE4/1 – 430 Hz/cm²





iRPC large prototype

iRPC Baseline design	
High Pressure Laminate Thickness	1.4 mm
The Number of Gas Gaps	2
Gas Gap & Electrode width	1.4 mm
Resistivity ($\Omega \cdot \text{cm}$)	$0.9 \sim 3 \times 10^{10}$
Strip pitch	0.7~1.2 cm
Electronics Threshold	< 50 fC

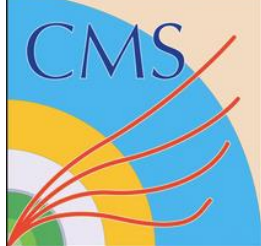


Large Size double-gap iRPC

- two cut gaps (top) and a full gap (bottom)
- 96 strips (strip pitch : 1.5~2.8 cm)

Three Front-end electronics KODEL

- 32 channel
- voltage-sensitive mode (KODEL customized)

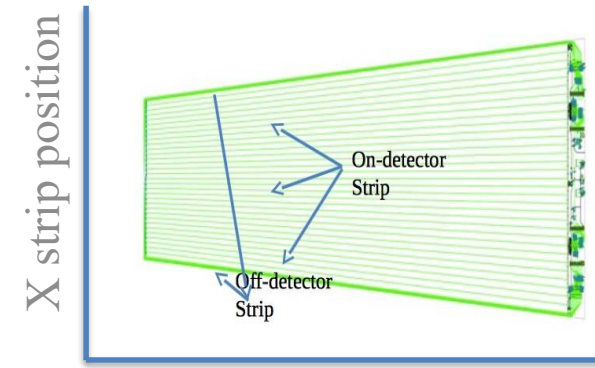
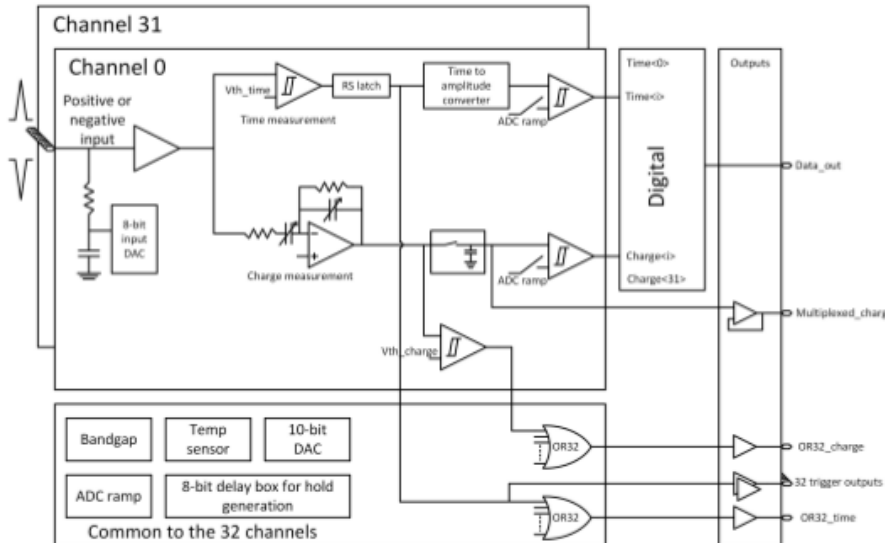


New front-end electronics

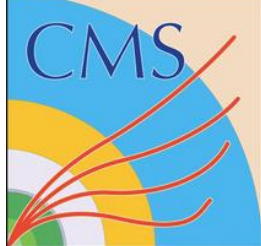
New electronic more sensitive in order to detect the lower charges ($<10\text{ fC}$) without affecting the detector performance.

BASELINE: **PETIROCASIC + TDC**

- 32 channels
- low noise
- gain 25
- fast pre-amplifier and fast discriminator in SiGe technology
- Readout double coordinate: **XY position (2D)**



96 strips (0.2083°)
Strip pitch 11.8mm – 6.6mm
X resolution $\sim 3\text{ mm}$



New front-end electronics

Strip board :

96 strips per chamber (1cm strip width at $\eta = 2.8$) between double gap RPC detectors

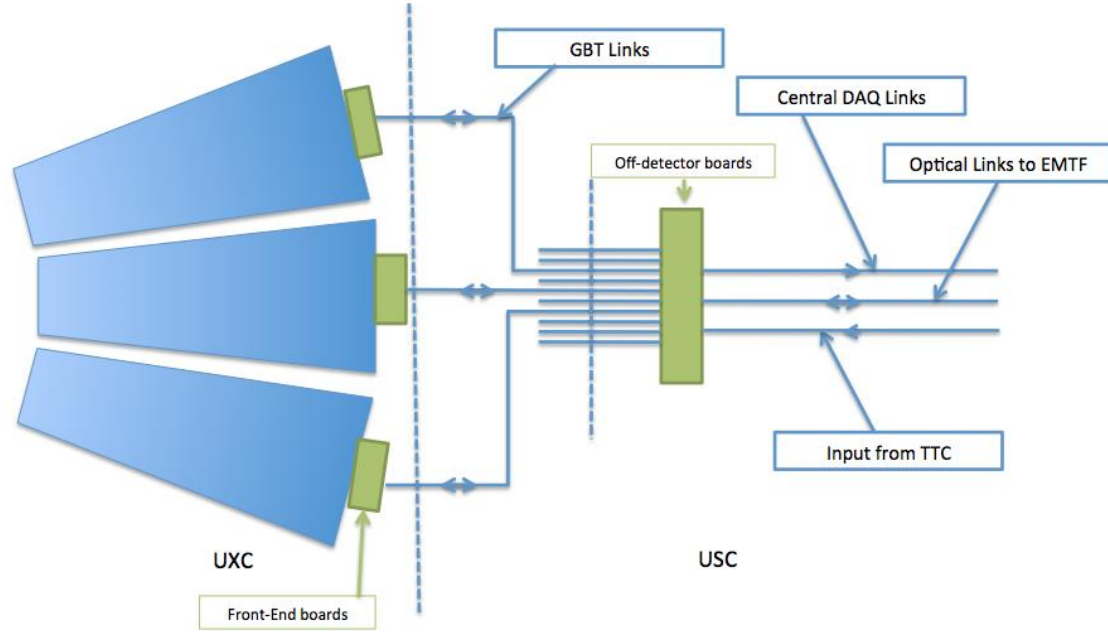
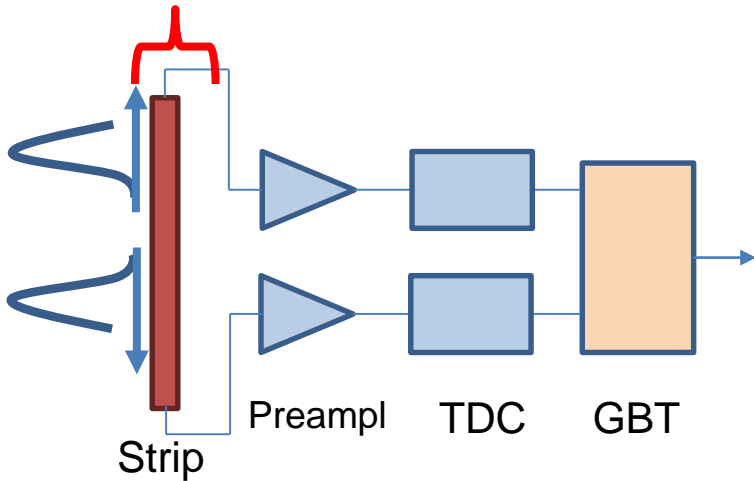
Front-end :

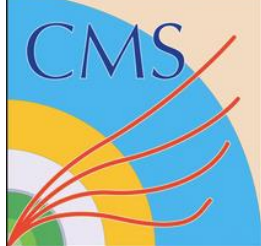
Readout on both sides of the strip

→ Position along the strip ($\sigma = 1.8 \text{ cm}$)

$$Y = \frac{L}{2} - V \cdot \frac{T_2 - T_1}{2}$$

Absolute timing ($\sigma \ll 1\text{ns}$)





New front-end electronics

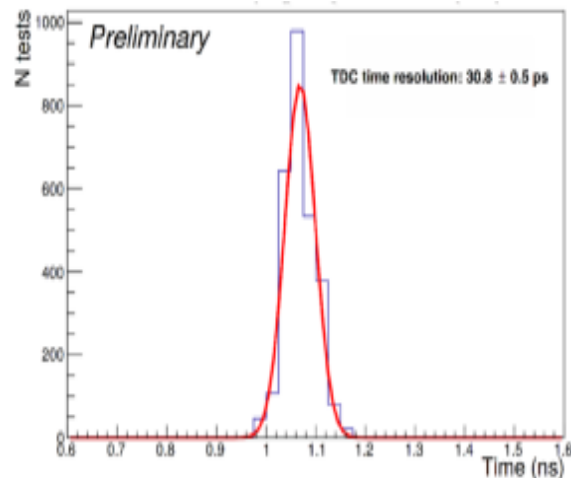
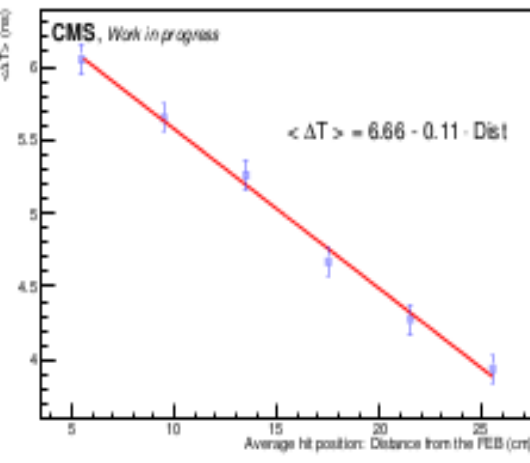
A board of a medium size was designed and produced and tested on RPC detectors during TB. Channels: 32 on-detector strips with 3.5 mm pitch and 32 off-detector return strips 1 mm pitch. → 64 channels = 2 PETIROC + 2 TDC

$T_2 - T_1$ as a function of the hit distance to the FEB. The linear behavior allows a fit of V. Signal Propagation Speed $\sim 18 \text{ cm/ns}$

The difference of arrival time of the signal on the two TDC channels associated to the two ends of the same strip after an injection of a 10 pC charge signal shown that a timing as good as 30–35 ps.

Time resolution: time difference between the strip ends signal and the trigger signal (T_0) $\approx 2 \text{ ns}$

Along-strip position measurement with iRPC chamber



Absolute timing measurement with iRPC chamber (strip 21)

